

(1) 粒子-波机率

Maxwell 的 EM theory: 光 is wave.

实验上的证据: 单 slit 的绕射 + 双 slits 干涉

Einstein 的光子学说: 光 is particles

实验证据: 光电效应, Compton 效应.

→ 粒子与波动间的关连为何?

光电 effect 中, 光 e^- 的数目 \propto 光强度; 又: 一个 e^- 吸收一个

光子 \Rightarrow 光子数目 \propto 光强度 ($\propto E_p^2$ or B_p^2), 其中的 E 与 B

遵守 Maxwell EM theory.

\therefore 光 e^- 的产生产与 EM wave 有关。但光子与光波间的关係是量子

统计或机率的方式呈现: 光 e^- 的产生产是 random 的, 在光

强度大的地方, 光 e^- 产生产的机率较高

\Rightarrow 机率 $\propto E_p^2$

e^- 或物质的波动-粒子特性与光相同.

→ 发现粒子的机率 \propto 物质波振幅的平方.

Maxwell eqs. 决定光的波动行为.

Schrödinger wave eq. 则决定物质的波动行为.



(2) Schrödinger eq.

一個行進波 $y(x,t)$ 的 wave eq.: $\frac{\partial^2 y}{\partial x^2} = \frac{1}{v^2} \frac{\partial^2 y}{\partial t^2}$
 v 為波速.

其解為 $y(x,t) = A \sin(kx - \omega t)$, where $k = \frac{2\pi}{\lambda}$ and $\frac{\omega}{k} = v$.

若粒子 (e.g. e^-) 被局限在一定的空間中, 為保持 energy = constant, 粒子的物質波必須是 standing wave 的形式.

$\therefore y(x,t) = \psi(x) \sin \omega t$ 為 λ wave eq.

$$\rightarrow \frac{d^2 \psi}{dx^2} + \frac{\omega^2}{v^2} \psi = 0$$

where $\frac{\omega^2}{v^2} = k^2 = \left(\frac{2\pi}{\lambda}\right)^2 = \left(2\pi \cdot \frac{p}{h}\right)^2 = \frac{p^2}{\hbar^2}$ (we use $\lambda \cdot p = h$).

又粒子的 total energy $E = k + U = \frac{p^2}{2m} + U$ ($U = \text{potential energy}$)

$\therefore p^2 = 2m(E - U)$ (Here we use non-SR relation $k = \frac{p}{\hbar}$)

\therefore 描述物質波空間波函數 ψ 的 eq. 為

$$\frac{d^2 \psi}{dx^2} + \frac{2m}{\hbar^2} (E - U) \psi = 0 \quad \text{此為 1-D time-independent 的 Schrödinger eq.}$$

只要 U 知道就能解出 $\psi \rightarrow$ 可知道所有的 information 的粒子.

U 的例子: 無限高 potential well

簡諧運動 potential

有限高 potential well

H atom 位能 $U(r) = -ke^2/r$



數學上, $\psi(x)$ 的 boundary conditions: ψ and $\frac{d\psi}{dx}$ 是連續函數 ($U \rightarrow \infty$ 例外)

否則 $\frac{d\psi}{dx}$ and $\frac{d^2\psi}{dx^2} \rightarrow \infty$.

物理上, $\psi(x)$ 的 boundary conditions: $\psi(x) \rightarrow 0$ when $x \rightarrow \pm\infty$,

for bound particle.

Wave function $\psi(x)$ 意義:

Born 引用量子觀念解釋 $\psi(x)$:

粒子 wave function 的平方 = 單位體積內找到粒子的機率
 $\therefore \psi^2 \cdot dV =$ 體積 dV 中找到粒子的機率, and
 $\psi^2 =$ probability density

In 1-D: $P(x) = \psi^2(x) \cdot dx =$ 在 x 到 $x+dx$ 間粒子被發現的機率。

ψ 一般是複數, 本身不代表物理量, 只有 ψ^2 具有意義。

Normalization condition of ψ : $\int_{-\infty}^{\infty} \psi^2(x) dx = 1$

— 將 ψ^2 的總數 set to 1 \rightarrow set the amplitude of ψ .

符合上述條件的 $\psi =$ normalized ψ .

古典物理: 屬於「決定論」, 若知道粒子的起始位置、速度及作用力,
 then 可準確知其路徑、位置 and energy.

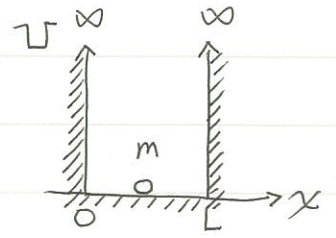
波動力學: 只能預測 預 粒子在某個位置出現的機率, 無法準確
 預知其位置。

\rightarrow 預測的是物理量的平均值, 非單一測量值。



(3) 無限高的位能井 (infinite square well = 1-D)

~ 1-D 盒中的粒子, 雖是假設性例子, 但能近似實際的例子, 如被原子束縛的 e^- , 被原子核束縛的 p^+ .



右圖 = mass m 的 particle 在 $[0, L]$ 中運動, 位於

$x=0$ 及 $x=L$ 的 walls 無法穿越, \therefore

$$\begin{cases} U = 0, & \text{in } [0, L]. \\ U = \infty, & \text{其他位置.} \end{cases}$$

古典物理: 在 $[0, L]$ 發現 particle 的機率相同, 在 well 外則為 0.

In Schrödinger eq., 粒子的 wave function $\psi(x)$ 有 (B.C.)

(i) $\psi = 0$ at $x < 0$ and $x > L$.

(ii) ψ 是連續的, 即 $\psi(x=0) = 0 = \psi(x=L)$, 在 $x=0$ 及 $x=L$ 是連續的.

\therefore in $[0, L]$ 的 Schrödinger eq 為

$$\frac{d^2\psi}{dx^2} + \frac{2m}{\hbar^2} E \psi = 0, \text{ set } k^2 = \frac{2m}{\hbar^2} E$$

$$\rightarrow \frac{d^2\psi}{dx^2} + k^2 \psi = 0$$

$\psi(x)$ 的通解為 $\psi(x) = A \sin(kx + \phi)$, $k = \text{wave number}$.

$$\because \psi(x=0) = 0 \quad \therefore \phi = 0$$

$$\psi(x=L) = 0, \quad \therefore \sin kL = 0 \Rightarrow k = \frac{n\pi}{L}, \quad n \in \mathbb{Z}$$

$\therefore \psi(x) = A \sin \frac{n\pi}{L} x$, where we take $n \in \mathbb{N}$, $\because \psi(x) \neq 0$, $\therefore n \neq 0$

若 $\psi(x) = 0$ 表示沒有 particle. 另: 只有 ψ^2 有意義, \therefore 略去 n 為負值部分。

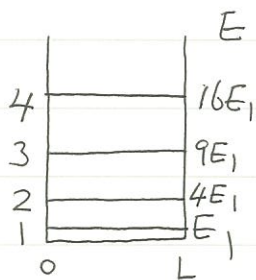


\Rightarrow Energy 量子化: $k = \frac{n\pi}{L} = \frac{1}{\hbar} \sqrt{2mE}$ (量子化的條件的來源?)

正式作法: 將 $\psi_n(x)$ 代入 Schrödinger eq. 即可求出 E_n

$$\therefore E_n = \frac{\pi^2 \hbar^2}{2mL^2} \cdot n^2 = \frac{\hbar^2}{8mL^2} \cdot n^2 \quad (\text{無限位能井的能階})$$

$n = \text{quantum number}, n \in \mathbb{N}$



$n=1, E_1 = \frac{h^2}{8mL^2} = \text{ground-state energy}$
 或稱為 zero point energy.

粒子的 min. energy $\neq 0$ even at 0 K.

古典物理: $E=0$ at 0 K for everything.

$E_1 \neq 0$ 也可從 uncertainty principle 理解:

if $E_{\min} = 0 \rightarrow p = 0$, 則 $\Delta p = 0$, and $\Delta x \cdot \Delta p = L \cdot 0 = 0$
 violates $\Delta x \cdot \Delta p \geq \hbar$.

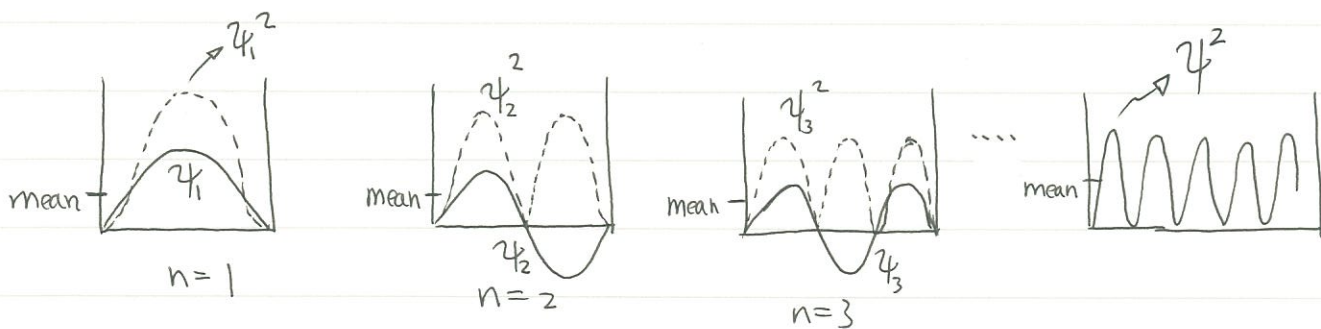
$\Rightarrow \psi^2(x)$

Use normalization conditions to determine A:

$$\int_{-\infty}^{\infty} \psi^2(x) dx = \int_0^L \psi^2(x) dx = A^2 \int_0^L \sin^2\left(\frac{n\pi}{L}x\right) dx = 1$$

$\therefore A = \sqrt{\frac{2}{L}}$

\therefore normalized wave function $\psi_n(x) = \sqrt{\frac{2}{L}} \sin\left(\frac{n\pi x}{L}\right)$



particle 在 $[0, L]$ 出現的機率並非各處相同。

量測很多週期的
 \uparrow mean value

But as $n \rightarrow \infty$, ψ^2 的 peaks 數 $\rightarrow \infty$, 使 detector (佔有一定的寬度)
 測量到的是 classical physics 預測的結果: 每處的機率皆相同 —

Correspondence principle.



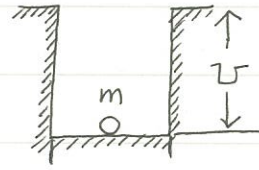
(4) 1-D finite square potential well (有限高位置井)

(I); (II); (III)

如右图深度为 U 的有限高位置井。

設井底的 $U=0$, 則被金屬 bound 的自由

e^- 就如坐井, 此時 $U = \phi = \text{work function}$, $x=0$ $x=L$



→ 古典物理: ψ particle 的 $E < U$, 則在井外不會發現 particle.

$E < U = \text{bound state}$, m 被束縛於位置井 U .

→ QM: $\psi \neq 0$ in (I) and (III)

$$\sqrt{2mE} = p = \hbar k$$

在 (II) 區, $U=0$, \therefore Schrödinger eq. $\frac{d^2\psi}{dx^2} + k^2\psi = 0$, $k = \frac{1}{\hbar}\sqrt{2mE}$

通解為 $\psi_{II}(x) = C \sin kx + D \cos kx$

在 (I) 及 (III) 區, $U > E$, \therefore Schrödinger eq. $\frac{d^2\psi}{dx^2} = k^2\psi$, where $k = \frac{1}{\hbar}\sqrt{2m(U-E)}$

通解 $\psi(x) = A e^{kx} + B e^{-kx}$

在 (I) 區內, $\psi(x) \rightarrow 0$ when $x \rightarrow -\infty$

$$\therefore \psi_I(x) = A e^{kx}$$

同理 (III) 區內, $\psi(x) \rightarrow 0$ as $x \rightarrow \infty$

$$\therefore \psi_{III}(x) = B e^{-kx}$$

連續條件: at $x=0$: $\psi_I = \psi_{II}$, $\frac{d\psi_I}{dx} = \frac{d\psi_{II}}{dx}$
 at $x=L$: $\psi_{II} = \psi_{III}$, $\frac{d\psi_{II}}{dx} = \frac{d\psi_{III}}{dx}$ } 此 4 個條件可簡化 } A, B, C, D 到一個。

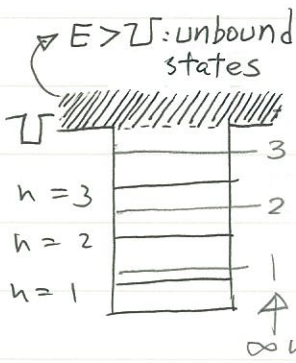
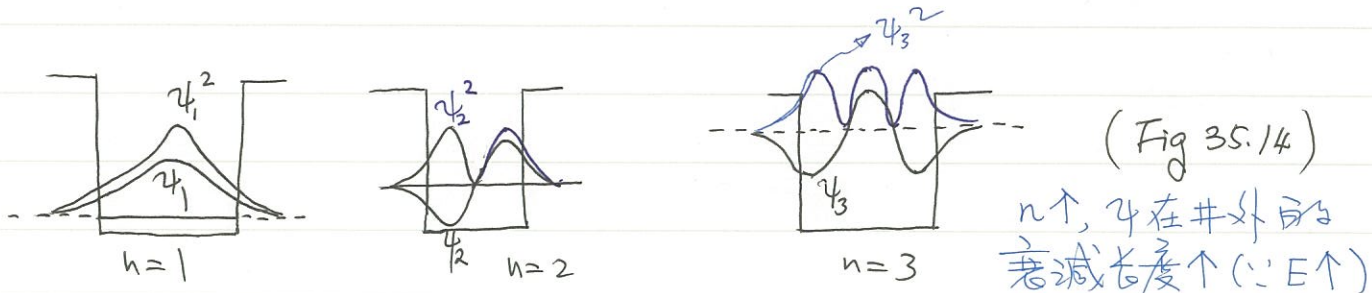
+ normalization condition 求出最後一個係數。

$$\begin{cases} \psi_I(x) = A e^{kx} \\ \psi_{II}(x) = \frac{k}{k'} A \sin kx + A \cos kx \\ \psi_{III}(x) = k' A e^{-kx}, \text{ where } k' = e^{kL} \left(\frac{k}{k'} \sin kL + \cos kL \right). \end{cases}$$

$\therefore \psi$ 在 $[0, L]$ 為振盪形式, 但在 well 外則為指數衰減形式

→ 在 well 外發現 particle 的機率子為零, → tunneling effect.

實驗證據: STM 的 tunneling 效應。



∞ 無限高位能井的比較:

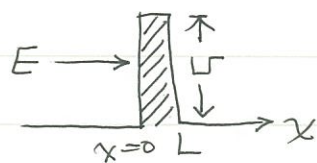
- (i): 物質波在井外仍有長度, ∴ for a given n, 有限高 well 的 $\lambda >$ 無限高 well 的 λ , 表示前者的 E level 比較小, 且 n↑, 兩者的差距愈大。
- (ii) 有限高 well 的 bound states 數目有限。

There is always at least one bound state, no matter how shallow the well.

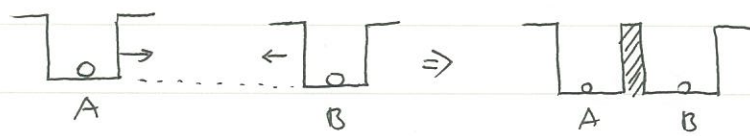
- (iii) $E > U$, unbound state, 井內、井外的 ψ 皆為振盪解。
(井內的 λ 較短, ∴ k 比較大)
(E 為連續值)

(5) Tunneling effect (穿隧效應)

Classically, 粒子的能量 $E <$ potential barrier U 時, 粒子無法在 barrier 的右邊被發現。粒子在 $x=0$ 處反彈。



potential barrier 的形成:

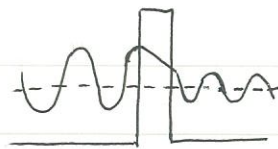


兩個非常接近的金電, 形成 e⁻ 的 potential barrier.

量子力學: $\psi \sim \psi \propto e^{-kx}$ where $k = \frac{1}{\hbar} \sqrt{2m(U-E)}$

∴ 只要 barrier 的寬度 L

不要太大, 就能在右邊找到粒子 \Rightarrow tunneling effect



tunneling 的 probability $\propto \psi_{\text{barrier}}^2 \propto (e^{-KL})^2 = \exp\left[-\frac{2L}{\hbar}\sqrt{2m(U-E)}\right]$

\therefore 三個因素左右穿隧機率: barrier 的寬度 L 、粒子的 mass m 及粒子的 energy E 與 barrier 的高度 U 之間的差。

(\rightarrow) mass 大的粒子, tunneling effect 不明顯. (microscopic phenomenon.)

(\rightarrow) 欲提高 tunneling probability, 可藉由提高 particle 的 energy E .

Quantum tunneling effects 在何處?

(i) 半導體間的 thin 絕緣層。

(ii) Scanning Tunneling Microscopy - STM

(iii) 核融合 (nuclear fusion) - 星球中心, Without tunneling, the sun wouldn't shine.

(iv) \propto 粒子的產生。

(b) The harmonic oscillator

不同的 system 用不同 U 描述。

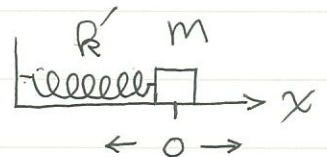
(CO 分子, H_2O 分子)

For 原子尺寸系統的振動, 如 e^- 或 atom 在分子結構中的振動, 其位能 U 可使用 spring system 的位能近似。

\rightarrow 古典物理中的 spring system: $k = \text{force constant}$,
block m 的振動角頻率為 $\omega (= 2\pi f)$, 則 $k = m\omega^2$,
and $U(x) = \frac{1}{2}kx^2 = \frac{1}{2}m\omega^2x^2$

\therefore 1-D time-independent Schrödinger eq. ∇^2

$$\frac{d^2\psi}{dx^2} + \frac{2m}{\hbar^2} \left(E - \frac{1}{2}m\omega^2x^2 \right) \psi = 0 \quad \text{--- (a)}$$



\rightarrow 需高階數學, 解出的 ψ 為 Hermite functions.

ψ 的 boundary conditions 為 $\psi(x) \rightarrow 0$ as $|x| \rightarrow \infty$

(算出 ψ 再代入 (a) 即可求出 E 。如將 ψ 的 $\psi_0(x)$ 代入 (a) 即可求出 $E_0 = \frac{1}{2}\hbar\omega$)

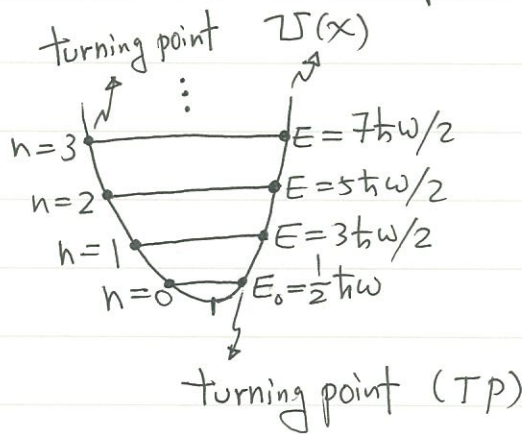
得出的 energy level $E_n = (n + \frac{1}{2})\hbar\omega$, $n=0, 1, 2, 3, \dots$

Ground state $E_0 = \frac{1}{2}\hbar\omega$

→ 古典物理: $E_{min} = 0$

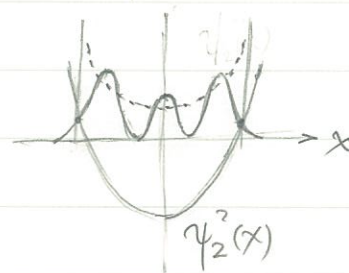
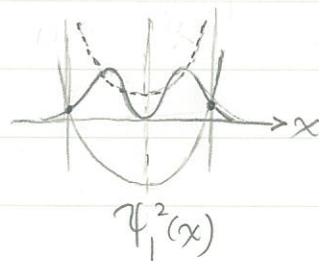
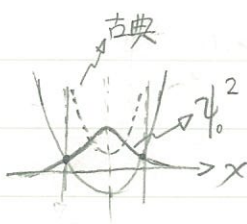
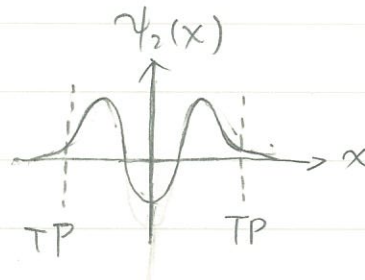
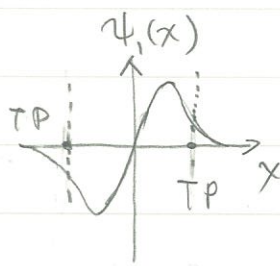
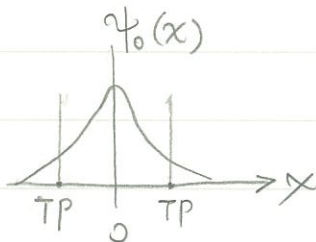
QM: $E_{min} = E_0 = \frac{1}{2}\hbar\omega$ to conform to the uncertainty principle.

能階圖:



相鄰能階差為 $\Delta E = \hbar\omega$ 為等間距的能階圖也稱子能階子圖

ψ_n : Hermite function
eg. $\psi_0(x) = C e^{-m\omega x^2/2\hbar}$



古典物理: 在 turning points 的粒子, $v=0$, ∴ 此處發現粒子的機率最高, 而在平復點 ($x=0$), v 最大, ∴ 粒子出現機率最低。

QM: No! e.g. $n=0$, ψ_0^2 在 $x=0$ 最大。 ψ_n^2 在 turning points 處並非最大。 ψ_n 可以 leaks 到 $V(x)$ 外。

But as $n \rightarrow \infty$, QM \rightarrow 古典。

(7) 3-D

1-D 的 Schrödinger's eq. 顯示出量子世界的奇異性, 如能階分布
穿隧 effect.

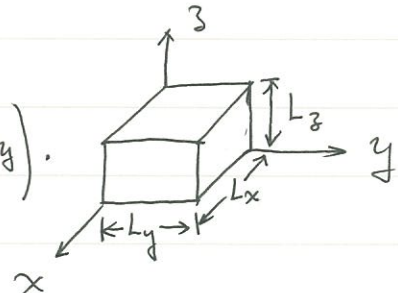
How about 3D?

3-D time-independent Schrödinger eq.:

$$\nabla^2 \psi + \frac{2m}{\hbar^2} (E - U) \psi = 0, \text{ where } \nabla^2 = \frac{\partial^2}{\partial x^2} + \frac{\partial^2}{\partial y^2} + \frac{\partial^2}{\partial z^2}$$

for a particle confined in a box of $L_x \times L_y \times L_z$
 \Rightarrow 無限位勢井 in 3D

則

$$\psi_{n_x, n_y, n_z}(x, y, z) = \sqrt{\frac{2}{L_x}} \sin\left(\frac{n_x \pi}{L_x} x\right) \sqrt{\frac{2}{L_y}} \sin\left(\frac{n_y \pi}{L_y} y\right) \sqrt{\frac{2}{L_z}} \sin\left(\frac{n_z \pi}{L_z} z\right)$$


where $n_x, n_y, n_z \in \mathcal{N}$. (similar to 1D)

$$\text{and energy } E = E_x + E_y + E_z = E_{n_x, n_y, n_z} \\ = \frac{\hbar^2}{8m} \left(\frac{n_x^2}{L_x^2} + \frac{n_y^2}{L_y^2} + \frac{n_z^2}{L_z^2} \right)$$

If $L_x = L_y = L_z = L$, then (cubic box)

$$E = \frac{\hbar^2}{8mL^2} (n_x^2 + n_y^2 + n_z^2) \text{ (see problem 49) (p11)}$$

Ground state: $n_x = 1 = n_y = n_z$, i.e. $E_{111} = \frac{3\hbar^2}{8mL^2}$

First excited states: n_x, n_y, n_z 中有一個為 2, 其餘為 1, \therefore 有三個
excited states (112)(121)(211) 具有相同的 energy $\frac{\hbar^2}{8mL^2} \cdot 6$

這些 states 稱為 degenerate states.

Note: if the box is rectangular, the degeneracy is removed!

\Rightarrow degeneracy 由量子系統的對稱性有關。



∴ Degeneracy is often associated with symmetry of the QM system.

$L_x \neq L_y \neq L_z$ 的 box would remove the degeneracy. In a more realistic quantum system, imposing a \vec{B} field on an otherwise spherically symmetric atom breaks the symmetry and split energy levels."

Problem 49.

3D 的 Schrödinger eq. 为 $\nabla^2 \psi + \sqrt{\frac{2m}{\hbar^2}} (E - U) \psi = 0$ 。在一个立方盒中 (L^3) 的粒子的波函数为 $\psi(x, y, z) = A \sin\left(\frac{n_x \pi}{L} x\right) \sin\left(\frac{n_y \pi}{L} y\right) \sin\left(\frac{n_z \pi}{L} z\right)$ ，
则其 energy $E = ?$

$$\psi = A \sin\left(\frac{n_x \pi}{L} x\right) \sin\left(\frac{n_y \pi}{L} y\right) \sin\left(\frac{n_z \pi}{L} z\right) \equiv A \sin(x) \sin(y) \sin(z)$$

$$\begin{aligned} \nabla^2 \psi &= A \cdot \left(\frac{n_x \pi}{L}\right)^2 \cos(x) \sin(y) \sin(z) + \\ & A \cdot \left(\frac{n_y \pi}{L}\right)^2 \sin(x) \cos(y) \sin(z) + \\ & A \cdot \left(\frac{n_z \pi}{L}\right)^2 \sin(x) \sin(y) \cos(z). \end{aligned}$$

$$\begin{aligned} \nabla^2 \psi &= -A \left(\frac{n_x \pi}{L}\right)^2 \sin(x) \sin(y) \sin(z) + \\ & (-A) \left(\frac{n_y \pi}{L}\right)^2 \sin(x) \sin(y) \sin(z) + \\ & (-A) \left(\frac{n_z \pi}{L}\right)^2 \sin(x) \sin(y) \sin(z) = \frac{\pi^2}{L^2} (n_x^2 + n_y^2 + n_z^2) (-\psi) \end{aligned}$$

In the box, $U=0$,

$$\therefore \nabla^2 \psi + \frac{2m}{\hbar^2} E \psi = 0 = \frac{\pi^2}{L^2} (n_x^2 + n_y^2 + n_z^2) (-\psi) + \frac{2m}{\hbar^2} E \psi$$

$$\therefore E = \frac{\hbar^2}{2m} \cdot \frac{\pi^2}{L^2} (n_x^2 + n_y^2 + n_z^2) = \frac{\hbar^2}{8mL^2} (n_x^2 + n_y^2 + n_z^2)$$



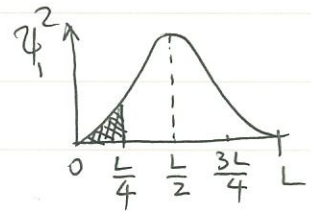
Schrödinger eq. 並無相對論修正。在大部分的原子、分子及固態物理的應用上，粒子（尤其是 e^- ）的 $v \ll c$ ，∴ 不須修正。但嚴謹的方程式應為相對論的波方程式。即使是慢速粒子，相對論不變性 (invariance) 的要求，導致驚奇的新現象，如反粒子， e^- 的 spin 等。

無限高位能井中, 粒子處於 ground state, 求在 $[0, \frac{L}{4}]$ 發現粒子的機率 = ?

Well: $[0, L]$ and $\psi_n(x) = \sqrt{\frac{2}{L}} \sin\left(\frac{n\pi}{L}x\right)$ (normalized)

for ground state $n=1$, $\therefore \psi_1(x) = \sqrt{\frac{2}{L}} \sin\left(\frac{\pi}{L}x\right)$

$$\begin{aligned} \therefore P(x \leq \frac{L}{4}) &= \int_0^{\frac{L}{4}} \psi_1^2(x) dx = \frac{2}{L} \int_0^{\frac{L}{4}} \sin^2\left(\frac{\pi x}{L}\right) dx \\ &= \frac{1}{4} - \frac{1}{2\pi} = 0.091, \end{aligned}$$



古典物理:

$$P(x \leq \frac{L}{4}) = \frac{1}{4} = 0.25$$

For 任意的 n

$$\psi_n(x) = \sqrt{\frac{2}{L}} \sin\left(\frac{n\pi}{L}x\right)$$

$$\begin{aligned} P(x \leq \frac{L}{4}) &= \int_0^{\frac{L}{4}} \psi_n^2(x) dx = \frac{2}{L} \int_0^{\frac{L}{4}} \sin^2\left(\frac{n\pi}{L}x\right) dx \\ &= \frac{1}{4} - \frac{\sin\left(\frac{n\pi}{2}\right)}{2n\pi} \end{aligned}$$

As $n \rightarrow \infty$, $P(x \leq \frac{L}{4}) = \frac{1}{4} =$ results of 古典物理.

(又是 - 個 correspondence principle 的例子)

